## 要約版

#### 川崎製鉄技報

# KAWASAKI STEEL GIHO

Vol.26 (1994) No.2

結晶微細構造制御による AlCu/TiN配線信頼性向上

Improvement of Electromigration Resistance of AlCu / TiN Lines by Controlling Aluminum Microstructure

根本 剛直(Takenao Nemoto) 堀越 浩(Hiroshi Horikoshi) 野上 毅(Takeshi Nogami)

#### 要旨:

AlCu層の結晶微細構造制御による,配線エレクトロマイグレーション(EM)耐性向上技術を二つ開発した。一つは,ウエハー工程後の250°C,10 時間の熱処理により AlCu 中の Cu原子分布を最適化するエージング技術である。ウエハー工程後の過飽和 Cuの,数時間の低温熱処理による Al 結晶粒界への拡散・粒界編析が $1nm\phi$ 微細部 X線エネルギー分散解析により観察された。Cu原子の粒界編析に伴う配線 EM寿命向上が確認された。二つ目は,EM耐性と密接な関係にあるアルミ結晶配向性の制御技術である。配向性が,タングステンプラグを形成する配線工程で劣化するメカニズムを明らかにし,この劣化発生を回避するプロセスを開発した。

## Synopsis:

Two techniques for improving electromigration (EM) resistance of AlCu/Tin lines were developed by controlling the microstructrue of aluminum aoolys. One is control of Cu atom distribution in AlCu films by aging at 250°C for 10h after the wafer process Cu atom segregation to grain boundaries after aging was observed indicating importance of segregated Cu for EM resistance. The other is control of crystalline orientation of Al in AlCu/Tin lines. Deterioration of crystalline orientation was found in metallization process to form tungsten-plug contact/via. Removal of sulfur/fluorine atoms from the TiN surface on which AlCu films are to be deposited privented the deterioration.

(c) JFE Steel Corporation, 2003

本文は次のページから閲覧できます。

# 結晶微細構造制御によるAlCu/TiN配線 信頼性向上\*

## Improvement of Electromigration Resistance of AlCu/TiN Lines by Controlling Aluminum Microstructure



根本 剛直 Takenao Nemoto ハイテク研究所 LSI 研究センター



堀越 浩 Hiroshi Horikoshi LSI事業部 技術開発 センター プロセス開 発室



野上 毅 Takeshi Nogami ハイテク研究所 LSI 研究センター 主任研 究員(掛長)・工博

## 害要

AlCu 層の結晶微細構造制御による、配線エレクトロマイグレーション(EM)耐性向上技術を二つ開発した。一つは、ウエハー工程後の250℃、10時間の熱処理により AlCu 中の Cu 原子分布を最適化するエージング技術である。ウエハー工程後の過飽和 Cu の、数時間の低温熱処理による Al 結晶粒界への拡散・粒界偏析が 1 nmφ 微細部 X 線エネルギー分散解析により観察された。Cu 原子の粒界偏析に伴う配線 EM 寿命向上が確認された。二つ目は、EM耐性と密接な関係にあるアルミ結晶配向性の制御技術である。配向性が、タングステンプラグを形成する配線工程で劣化するメカニズムを明らかにし、この劣化発生を回避するプロセスを開発した。

## Synopsis:

Two techniques for improving electromigration (EM) resistance of AlCu/TiN lines were developed by controlling the microstructure of aluminum alloys. One is control of Cu atom distribution in AlCu films by aging at 250°C for 10 h after the wafer process. Cu atom segregation to grain boundaries after aging was observed indicating importance of segregated Cu for EM resistance. The other is control of crystalline orientation of Al in AlCu/TiN lines. Deterioration of crystalline orientation was found in metallization process to form tungsten-plug contact/via. Removal of sulfur/fluorine atoms from the TiN surface on which AlCu films are to be deposited privented the deterioration.

#### 1 緒 言

LSI の高集積化、高速化により配線の電流密度が増加する。そのため、電子が配線の A1 原子に衝突して A1 原子を突き動かす EM (electromigration) 不良が配線信頼性上の問題となっている。当社の  $0.8\,\mu\mathrm{m}$  CMOS プロセスでは AlCu<sup>D</sup>と TiN/Ti の積層配線を採用して 10 年以上の EM 寿命を達成しているが、サブハーフミクロン以降のプロセスではさらに EM 耐性を向上させる必要がある。

EM 耐性を向上させる方法として、AlSc<sup>20</sup>、Al 単結晶<sup>21</sup>、Cu 配線"などが検討されているが、これらの新配線材料の採用は現状プロセスラインの変更をもたらし、大幅なコストアップとなる。以上の事情から、本論文では現状の AlCu 積層配線をサブハーフミクロン以降にも採用できるプロセスの開発を行った。

EM 耐性に影響を及ぼす因子を Fig. 1 に示す。段差緩和は層間 絶縁膜形成方法の改良による平坦性向上により達成することができ る<sup>5</sup>。一方、結晶粒径の粗大化、均一化、Al(111)配向性の向上<sup>6</sup>、 Cu 析出状態の最適化<sup>7</sup>といった微細組織の最適化によりメタル自 体の EM 耐性を向上させることができる。

今回は、徽細組織最適化技術として、第2章で全面成長 W-CVD

Fig. 1 Factors influencing EM resistance

法によるエッチバック時のバリアメタルへのダメージを除去することにより、Al(111)配向性を向上させる技術<sup>8,9)</sup>を、第3章で製造後の配線に250℃の熱処理(エージング処理)を行うことにより、Cu 析出状態を最適化する技術<sup>10,11)</sup>を検討する。

#### 2 AI配向性向上技術

#### 2.1 背景

Si 基板とのコンタクトホール、またはスルーホールの微細化に

AlCu coverage on step

Planization

Micro-structure

Al(111) crystalline orientation

Grain size and its distribution

Precipitated Cu or CuAl2

<sup>\*</sup> 平成6年1月6日原稿受付

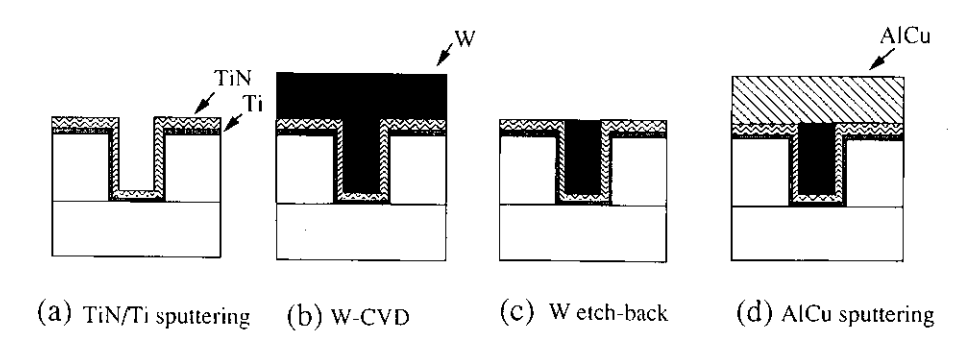


Fig. 2 Process flow preparing AlCu/TiN lines with W-CVD filling contact

伴い、全面成長 W-CVD 法による W プラグが用いられている。 Fig. 2 に標準的なプロセスフローを示す。コンタクトホールを形成した後、スパッタ法により密着層である Ti、TiN を形成し、CVD 法により W を全面成長させ、SF<sub>6</sub>と Ar 混合ガスを用いて、RIE 法(reactive ion etching)により W エッチバックを行い、コンタクトホール内に W を残した状態で AlCu を形成する。この場合、TiN 表面はエッチング雰囲気にされらされダメージを受ける。本章は、W プラグを用いる配線系で発生する TiN 表面のエッチングダメージの AlCu 膜質への影響、ダメージを除去する技術を検討する。

## 2.2 実験

#### 2.2.1 サンプル作成方法

W エッチバックプロセス有/無の 2 種類のサンプルを分析用, EM 加速試験用に準備した。配線構造はいずれのサンプルも配線構造上部から Al-0.5 wt%Cu/TiN/Ti であり、膜厚は 800/100/50 nm である。

第1のサンプルは CVD 法により成膜した BPSG(boron phospho silicate glass)上に DC マグネトロンスパッタ法により Ti と Ti N,AlCu を順番に形成した。第2のサンプルは標準的なプロセスフロー(Fig. 2)で作成した。第1のサンプルで Ti,Ti N を形成した後,コンタクトホールに W を1000 nm 全面成長させた後,エッチバックを行った。エッチバックは W の終点検出後,20 sのオーバーエッチを伴って終了させた。つまり,Ti N 膜上部には W が残らないようにした。その後,第1のサンプルと同様 AlCu を形成した。以上のサンプルについて分析を行った。

また、上記サンプルに  $25 \, \mathrm{nm}$  の反射防止膜をつけ、フォトリソグラフィー法、RIE 法により幅  $1.2 \, \mu\mathrm{m}$ 、長さ  $6 \, \mathrm{mm}$  の配線に加工し、パッシベーション膜により配線を被覆した後、 $400 \, \mathrm{C}$ 、 $30 \, \mathrm{min}$ のアニールを行い EM 加速試験を行った。

さらに、エッチバックダメージを除去する目的で W エッチバック後に (a) Ar イオンによる TiN 表面のスパッタリング, (b) アンモニア過水処理, (c) 有機洗浄を行い分析を行った。

#### 2, 2. 2 分析方法

AlCu と TiN/Ti の配向性測定に XRD (x-ray diffraction) に よるロッキングカーブ法を用いた。また TiN 表面の不純物分析に AES (Auger electron spectroscopy) を, 表面粗さ測定に AFM (atomic force microscopy) を用いた。

#### 2.2.3 EM 加速試験

EM 加速試験は 170℃ 環境温度中で電流密度を 4×10<sup>6</sup>A/cm<sup>2</sup>として行った。

#### 2.3 エッチバックダメージの影響

Fig. 3 に TiN/Ti 形成後に AlCu をスパッタしたもの(sp-TiN/Ti; Fig. 3 (a))と W エッチパック後に AlCu をスパッタしたもの(eb-TiN/Ti; Fig. 3 (b))の Al 結晶 (111)配向のロッキングカーブを示す。sp-TiN/Ti 上の Al 結晶 (111)配向の信号強度 (75 Kcps)はeb-TiN/Ti 上のそれ (23 Kcsp)の約 3 倍であり、半値幅は 1/3 となった。これらのことは sp-TiN/Ti 上の Al 結晶が eb-TiN/Ti 上のそれに比べて (111)により配向していることを示している。 Fig. 4 に EM 加速試験結果を示す。 AlCu/eb-TiN/Ti 配線の EM 耐性が AlCu/sp-TiN/Ti 配線に比べて 1/10 に減少しており、Fig. 3 の Al 結晶の (111)配向が劣化した結果と良く一致している。一方、sp-TiN/Ti と eb-TiN/Ti で TiN 結晶の (111)配向はほとんど変化しなかった。 Al 結晶の (111)配向は TiN 結晶の (111)配向を引き継いで向上することが知られている 1/20が、今回の結果は、それ以外の効果により Al 結晶の (111)配向が変化することを示している。

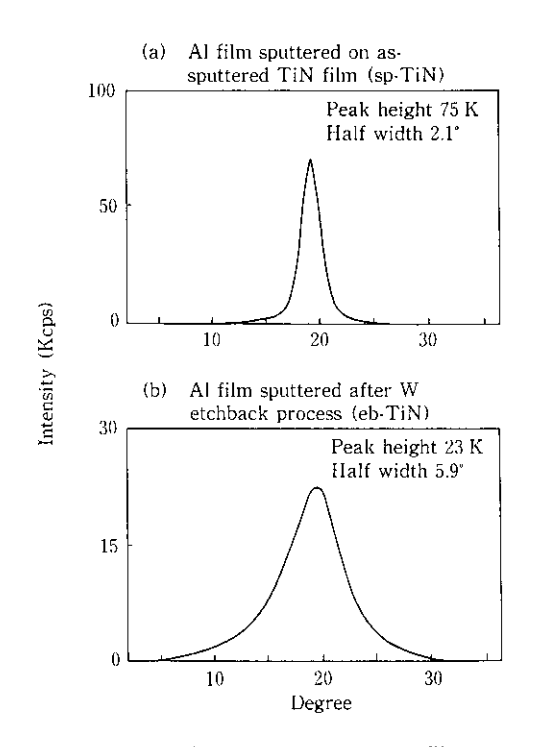


Fig. 3 Al (111) rocking curve profiles

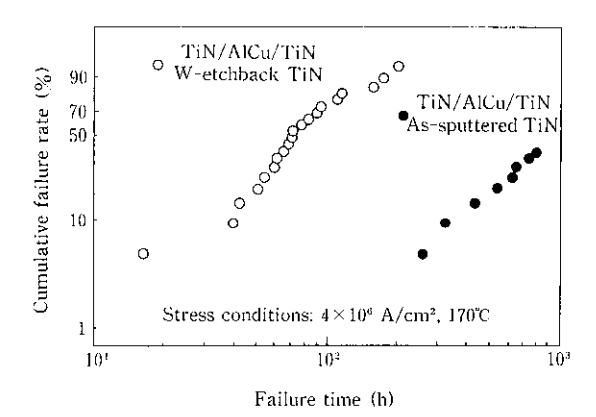


Fig. 4 Comparision of EM failure time distribution between the TiN/AlCu/eb-TiN and TiN/AlCu/sp-TiN lines

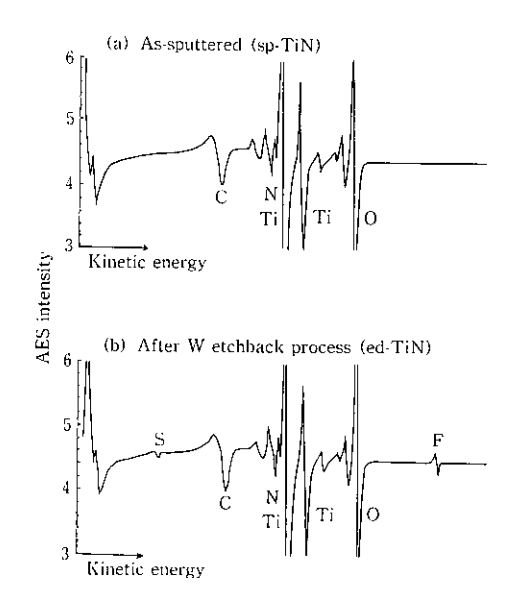
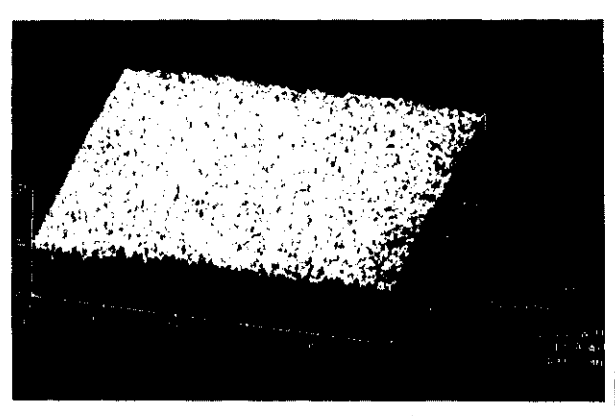
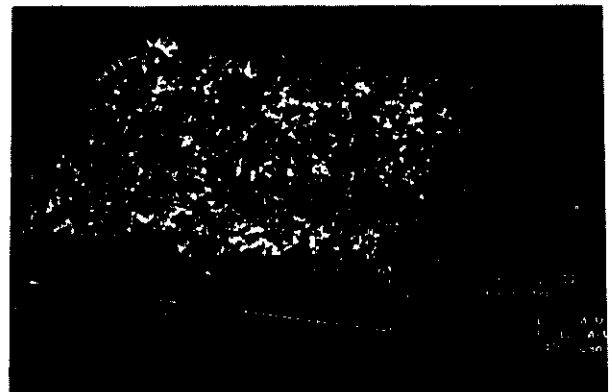


Fig. 5 AES profiles of TiN surface



(a) As-sputtered (sp-TiN)



(b) After W etchback process (eb-TiN)

Photo I AFM images of TiN surface

**Fig. 5** に AES による TiN 表面の分析結果を示す。eb-TiN では S(硫黄) と  $F(\neg \neg x)$  のシグナルが観測されたのに対して sp-TiN ではそれらは観測されなかった。S、F はエッチバックガス (SF 6) の主成分であり、エッチング中に付着したと考えられる。

Photo 1 に AFM による TiN 表面粗度測定結果を示す。sp-TiN 表面の最高高低差(粗度)  $R_{\rm max}$ が 10 nm に対して eb-TiN のそれは 30 nm で 3 倍粗度が増加している。

これらの結果から、eb·TiN 上 Al 結晶の(111)配向が劣化する原因として S、F の付着、表面粗度増加といった TiN 膜表面状態が影響していることが予測できる。

## 2.4 エッチバックダメージ除去方法

エッチバックダメージを除去する処理を行ったときの Al 結晶の (111)配向の信号強度と TiN 表面の S, Fの有無, 粗度  $R_{\rm max}$ を Table 1 に示す。Ar イオンスパッタ、アンモニア過水処理を行ったものは Al 結晶の (111)配向が向上したが有機洗浄、未処理では 劣化した。一方、S, Fは Ar スパッタ、アンモニア過水処理で除去できたが有機洗浄では除去できなかった。この結果は、Al 結晶の (111)配向性の結果と良く一致した。しかし、粗度はアンモニア 過水処理のみ向上し Ar スパッタでは変化しなかった。以上の結果

Table 1 TiN surface treatments and their effects on the TiN surface conditions and the crystalline orientation

Sample	Al (111) crystalline orientation	S, F on TiN surface	Roughness
(a) Ar ion sputtering	110 Kcps	non	rough
(b) Ammonium hydogen peroxide wet treatment	125 Kcps	non	smooth
(c) Organic wet treatment	15 Kcps	present	rough
(d) W-etchback damaged TiN	23 Kcps	present	rough

より TiN 表面に付着した S, F が Al(111)配向性を劣化させたことがわかった。TiN 表面に TiN-S もしくは TiN-F の化合物ができることにより TiN 結晶の(111)配向を Al が引き継げなくなったと考えられる。

## 3 エージング処理技術

#### 3.1 背景

Alに Cu を添加した配線を用いることにより EM 耐性が向上することは良く知られており、広く量産で用いられている。そのメカニズムとして (a) CuAl<sub>2</sub>析出物<sup>131</sup>, (b) 粒界に偏析した Cu<sup>141</sup>, (c) 粒内の Cu<sup>151</sup>の影響が報告されている。一方、析出状態を制御するためのエージング処理は鉄鋼など金属素材メーカーでは一般に行われている技術である<sup>161</sup>。本章では、このエージング処理を LSI 配線に応用することにより Cu 析出状態を制御して EM 耐性を向上させる技術を検討する。

#### 3.2 実験

#### 3.2.1 サンブル作成

エージング処理有/無 2 種類のサンプルを分析用, EM 加速試験 用に準備した。サンプルは前記実験の第 2 サンプルと同様のプロセスで作成した(Fig. 2)。BPSG 上に Ti (50 nm),TiN (100 nm)をスパッタ法により形成した後、W エッチバックを行い,前記エッチバックダメージ除去処理を行わず AlCu (800 nm)と反射防止膜の TiN (25 nm)を形成し幅  $1.2\,\mu\text{m}$ ,長さ 6 mm の配線に加工した後、CVD法によりパッシベーション膜を成膜し  $400^\circ\text{C}$ ,30 min の熱処理を行った。以上のプロセスを終了した後  $250^\circ\text{C}$  で 10,50,100 h の恒温度保管処理(エージング処理)を行った。また,分析用サンプルとして BPSG 上に AlCu を 800 nm 形成し,配線形成以降の実際の LSI 製造工程の熱処理を再現できる  $400^\circ\text{C}$ ,30 min の熱処理を加えた後,同様のエージング処理を行ったものを作成した。

## 3.2.2 分析方法

析出物の観察に TEM(transmission electron microscopy)を、元素分析として電子線が 1 nm φ に絞れる 微小部 観察用 EDX (energy dispersive x-ray spectroscopy)を、析出物の格子定数測定として ED(electron diffraction)を用いた。また、Al の粒径は TEM により測定し、Al 配向性測定は XRD を用いた。

## 3.2.3 EM 加速試験

EM 加速試験は室温環境中で電流密度を 7×10<sup>6</sup>A/cm<sup>2</sup>流して行った。この時の配線温度はジュール発熱により 250℃になった。

#### 3.3 結果

Fig. 6 にエージング処理を行ったものと未処理のものの EM 加速試験結果を示す。また、Fig. 7 にエージング処理をしたときの 50%断線時間 MTFa (mean time to failure) と未処理の 50%断線時間 MTFnaの比とエージング処理時間  $t_{\alpha}$ の関係を示す。これらの結果からエージング処理を行うことにより EM 耐性が向上することがわかった。一方,10 hのエージング処理により EM 耐性が未処理に比べて 10 倍向上するが、オーバーエージング処理を行うと EM 耐性はあまり向上しなくなる。また、Al(111)配向性と粒径は未処理とエージング処理で変化しなかった。Photo 2 にエージング処理による組織変化の TEM 観察結果を示す。10 h,100 h でエージング処理を行うことにより未処理で観察されなかった析出物が粒界に観察された。ED による解析結果よりこれらの析出物は安定層である  $CuAl_2(\theta \ hl)$  であることを確認した。

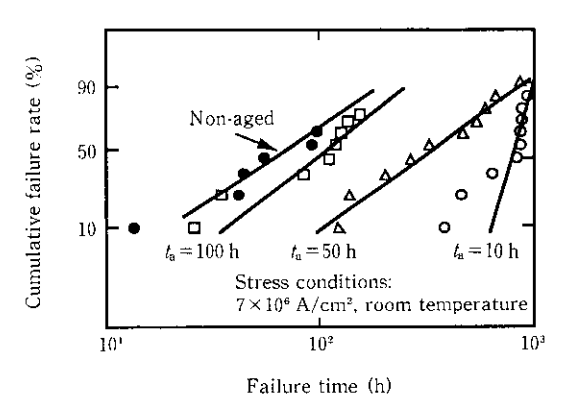


Fig. 6 EM failure time distribution for the non-aged and the aged lines for variable time

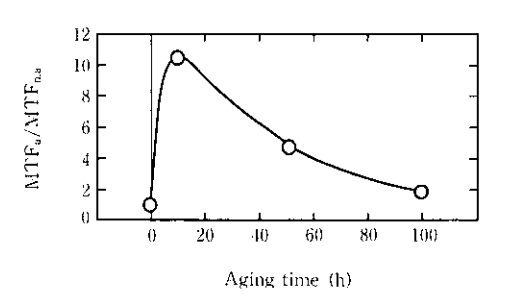


Fig. 7 MTF ratio of the aged-lines to non-aged as a function of the aging time

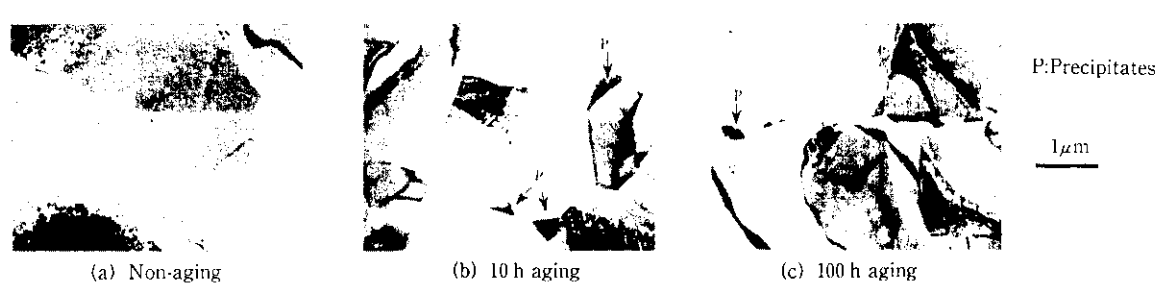


Photo 2 TEM observations of the aged and the non-aged AlCu



Photo 3 An example of EDX measuring points

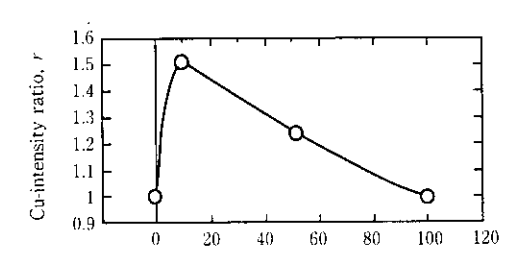


Fig. 8 EDX intensity ratio of Cu atoms at grain boundaries to inside grain as a function of the aging time

Aging time (h)

Photo 3 に EDX よる Cu 信号強度測定を行った簡所のマップ図を示す。測定は粒内 3 点(Photo 3 の 1, 2, 3), CuAl₂析出物以外の粒界 4 点(Photo 3 の 4, 5, 6, 7), 粒界三重点(Photo 3 の 9, 10, 11) と CuAl₂析出物(Photo 3 の 8, 11) で測定した。CuAl₂析出物で強い Cu の信号が得られた。一方,10 h,50 h エージング処理を行ったサンプルでは CuAl₂以外の粒界で粒内より強い Cu 信号が得られた。 Fig. 8 にエージング処理時間 4を変化させたときの粒界の Cu 信号強度 I (I. G.) の比 r を示す。この結果から、Cu 信号強度比 r は 10 h のエージング処理により増加するが,オーバーエージング処理(50-100 h)により減少することがわかった。

#### 3.4 考察

#### 3.4.1 CuAl<sub>2</sub>析出メカニズム

Al-Cu の相図<sup>17</sup>を **Fig. 9** に示す。LSI 製造工程の配線工程以降 の熱履歴は 350-450℃ 程度(Fig. 9 の 1)でプロセス処理を行った後、

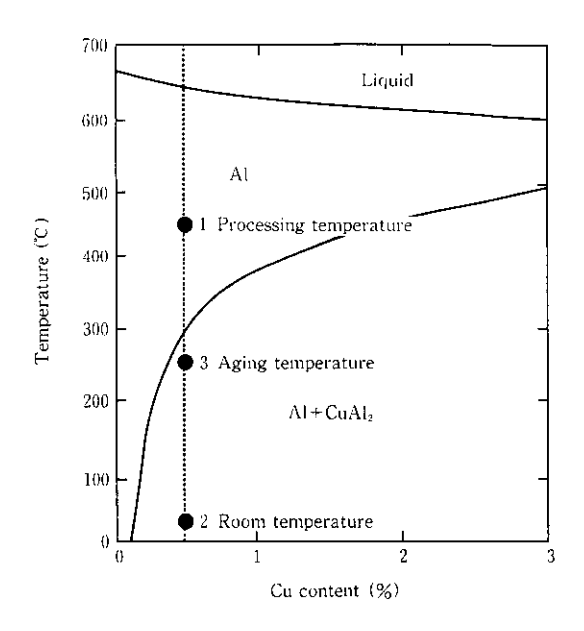


Fig. 9 Al-Cu phase diagram<sup>15)</sup>

1 h 程度で室温(Fig. 9 の 2)に冷却するものである。Al 中の Cu の 拡散速度は非常に遅い<sup>18)</sup>ため LSI 製造工程終了後の配線には過飽 和の Cu が存在していると考えられる。LSI 製造工程終了後、エージング処理を 250℃ (Fig. 9 の 3)で行い過飽和の Cu が粒界に拡散 することにより Photo 2 (b), (c)に示すように CuAl₂が析出すると考えられる。

#### 3.4.2 EM 耐性向上メカニズム

Fig. 6 および 7 からエージング処理により EM 耐性が向上し、粒界に CuAl $_2$ が析出した (Photo 2 o(a), (b), (c))。しかしながら、EM 耐性の結果 (Fig. 7)と比較して、 $10\,h$  エージング処理 (Photo 2 o(c)) で CuAl $_2$ 析出 状態に顕著な差が見られなかったことから、CuAl $_2$ 析出物は EM 耐性をほとんど向上させないと考えられる。

Fig. 8 から  $10 \, h$ ,  $50 \, h$  のエージング処理により Cu が粒界に偏析することがわかる。この結果と Fig. 7 の EM 耐性の結果は同じ傾向を示す。これらの結果から粒界に偏析した Cu が EM 耐性を向上させたと考えられる。

Fig. 10 にエージング処理のメカニズムを模式的に示す。製造直後(a)は粒内に過飽和に存在した Cu がエージング処理(b)を行うことにより粒界に偏析する。オーバーエージング処理(c)により粒界の Cu が析出する。

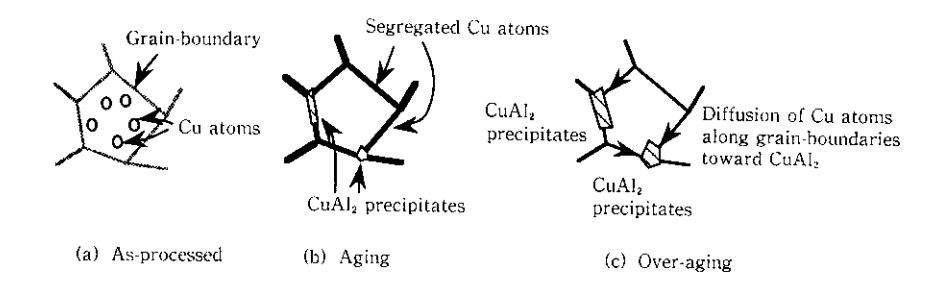


Fig. 10 Schematic of the aging mechanism

## 4 結 論

LSI 配線の信頼性上の問題である EM 耐性を新たな設備投資をせずに低コストで向上させるため、AlCu 配線の微細組織を制御する方法を開発した。得られた結論は以下のとおりである。

(1) 全面成長 W-CVD 法における W エッチバック工程での下地 TiN/Ti へのダメージが、その上に形成される AlCu 配線の Al 結晶の(111)配向性を劣化させ、EM 耐性が劣化した。この エッチバックダメージの実体は TiN 表面に付着したエッチバック ックガスの主成分であるS, Fである。

- (2) エッチバックダメージ除去には TiN 表面を Ar でスパッタ リングする方法かアンモニア過水処理が有効であり、本処理に より、AI 結晶配向性と EM 耐性が回復する。
- (3) LSI 製造工程後、AlCu 配線に250℃、10hのエージング処理を行うことによりEM 耐性を10倍向上させることができる。
- (4) エージング処理により粒界に偏析した Cu が EM 耐性を向上 させた。

#### 参考文献

- F. M. d'Huerle, N. G. Ainslie, A. Gangulee and M. C. Shine: J. Vuc. Sci. and Technol., 9 (1971) 1, 366-372
- S. Ogawa and H. Nishimura: "A Noble Al-Sc (scandium) Alloy For Future LSI Interconnection," International Electron Device Meeting Technical digest, IEEE, Washington, DC (USA), December (1991)
- H. Hasunuma, H. Kaneko, A. Sawabe, T. Kawanoue, and Y. Kohanawa: "Single Crystal Aluminum Lines with Excellent Endurance against Stress Induced Failure," International Electron Device Meeting Technical digest, IEEE, Washington, DC (USA), December (1989)
- H. K. Kang, J. S. H. Cho, I. Asano, and S. S. Wong: "Electromigration Properties of Electroless and CVD Cu Metallization," Proceedings 9 th International VLSI MultilevI Interconnection Conference, Santa Clara (USA), June (1992)
- T. Nogami, S. Oka, K. Naganuma, T. Nakata and O. Haida: "Electromigration Lifetime as a Function of Line Length or Step Number," 30 th Annual Proceedings Reliability Physics, IEEE, San diego (USA), April (1992)
- 6) S. Vaidya and A. K. Sinha: Thin Solid Films, 75 (1981), 253-259
- 7) C. Kim and W. Morris: J. Appl. Phys., 72 (1992) 5, 1837-1845
- 8) H. Horikoshi and T. Nogami: "Improving EM Lifetime of AlCu/ TiN Lines and W-plug Metal System by Controlling Crystal Structure of AlCu," Proceedings 10 th International VLSI Multilevl Interconnection Conference, Santa Clara (USA), June

(1993)

- 9) 川崎製鉄(株): 特願平 5-2801
- 10) T. Nemoto and T. Nogami: "Segregation of Cu to Grain Boundaries by Aging Treatment and its Effect on EM Resistance for AlCu/TiN," 31 th Annual Proceedings Reliability Physics, IEEE, San Jose, April (1994)
- 11) 川崎製鉄(株): 特願平 5-68690
- 12) K. Kageyama, K. Hashimoto and H. Onoda: "Formation of Texture Controlled Aluminum and its Migration Performance in Al-Si/TiN Stacked Structure," 29 th Annual Proceedings Reliability Physics, IEEE, Las Vegas (USA), April (1991)
- 13) J. E. Sanchez, Jr., O. Kraft and E. Arzt: "Microstructural Evolution in Thin Metal Films: Implications for VLSI Interconnection Reliability," Proceedings First International Workshop on Stress-Induced Phenomena in Metallizations, Ithaca (USA), September (1991)
- 14) P. S. Ho: Phys. Rev. 8B (1973) 10, 4534-4539
- R. Rosenberg, A. F. Mayadas, and D. Gupta: Surface Sci., 31 (1972), 566-585
- 16) 幸田成康: 軽金属, 36 (1986) 8, 525-533
- M. Hansen: "Constitution of Binary Alloys," (1965), 84, [McGraw-Hill, New York (USA)]
- K. V. Reddy, F. Beniere, and K. Kostopoulos: J. Appl. Phys., 50 (1979) 4, 2782-2788